

文章编号:0253-9950(2011)06-0363-07

## 两个<sup>99</sup>Tc<sup>m</sup>标记胸苷衍生物 在小鼠体内分布的比较

陆春雄<sup>1,2</sup>,蒋泉福<sup>1</sup>,唐 婕<sup>1</sup>,谭 成<sup>1</sup>,张建康<sup>1</sup>

1. 江苏省原子医学研究所 卫生部核医学重点实验室/江苏省分子核医学重点实验室,江苏 无锡 214063;

2. 江南大学 化学与材料工程学院,江苏 无锡 214122

**摘要:**为了找到适合肿瘤显像的<sup>99</sup>Tc<sup>m</sup>标记胸苷衍生物,制备了2个标记物<sup>99</sup>Tc<sup>m</sup>-ANMdU和<sup>99</sup>Tc<sup>m</sup>-NHT,标记率均大于95%,且稳定性好。生物分布结果显示:<sup>99</sup>Tc<sup>m</sup>-ANMdU主要经肾脏代谢,在体内清除比较迅速;<sup>99</sup>Tc<sup>m</sup>-ANMdU注射60 min后,荷瘤鼠体内肿瘤的放射性摄取与肌肉、骨和血的放射性摄取的比值达到较高值,分别为 $1.58 \pm 0.17$ 、 $1.95 \pm 0.31$ 和 $1.17 \pm 0.08$ ;<sup>99</sup>Tc<sup>m</sup>-NHT在小鼠体内肝脏和肾脏的放射性摄取很高,说明其主要经肝脏和肾脏代谢,体内的清除相对较慢;<sup>99</sup>Tc<sup>m</sup>-NHT注射120 min后,荷瘤鼠体内肿瘤的放射性摄取与肌肉、骨和血的放射性摄取的比值达到较高值,分别为 $4.41 \pm 0.32$ 、 $2.45 \pm 0.24$ 和 $1.51 \pm 0.18$ 。因此,<sup>99</sup>Tc<sup>m</sup>-NHT虽然在体内清除比<sup>99</sup>Tc<sup>m</sup>-ANMdU缓慢,但<sup>99</sup>Tc<sup>m</sup>-NHT在肿瘤的放射性摄取相对较高,可能是潜在的SPECT肿瘤显像剂,值得进一步研究。

**关键词:**<sup>99</sup>Tc<sup>m</sup>标记;胸苷衍生物;生物分布

中图分类号:R817 文献标志码:A

## Comparison of Biodistribution of Two <sup>99</sup>Tc<sup>m</sup>-Labeled Thymidine Analogs in Mice

LU Chun-xiong<sup>1,2</sup>, JIANG Quan-fu<sup>1</sup>, TANG Jie<sup>1</sup>, TAN Cheng<sup>1</sup>, ZHANG Jian-kang<sup>1</sup>

1. Key Laboratory of Nuclear Medicine, Ministry of Health /Jiangsu Key Laboratory of Molecular Nuclear Medicine, Jiangsu Institute of Nuclear Medicine, Wuxi 214063, China;  
2. School of Chemical & Material Engineering, Jiangnan University, Wuxi 214122, China

**Abstract:** To develop novel technetium-99m-labeled thymidine analog for tumor SPECT imaging, two <sup>99</sup>Tc<sup>m</sup>-labeled thymidine analogs (<sup>99</sup>Tc<sup>m</sup>-ANMdU and <sup>99</sup>Tc<sup>m</sup>-NHT) were synthesized. <sup>99</sup>Tc<sup>m</sup>-ANMdU and <sup>99</sup>Tc<sup>m</sup>-NHT are stable in aqueous solution and radiochemical purity are over 95%. Biodistribution of <sup>99</sup>Tc<sup>m</sup>-ANMdU in tumor-bearing mice shows that the high uptake of <sup>99</sup>Tc<sup>m</sup>-ANMdU in kidney and the clearance is fast. At 60 min p. i., the ratios of tumor-to-muscle, tumor-to-bone and tumor-to-blood are  $1.58 \pm 0.17$ ,  $1.95 \pm 0.31$  and  $1.17 \pm 0.08$ , respectively. Biodistribution of <sup>99</sup>Tc<sup>m</sup>-NHT in mice shows that the high uptake of <sup>99</sup>Tc<sup>m</sup>-NHT in liver and kidney, indicating that the clearance of <sup>99</sup>Tc<sup>m</sup>-NHT is mainly

收稿日期:2011-04-18;修订日期:2011-07-05

基金项目:江苏省自然科学基金资助项目(BK2008112);江苏省卫生厅资助项目(H200624)

作者简介:陆春雄(1975—),男,江苏无锡人,副研究员,药物化学专业

through the hepatobiliary pathway and the renal pathway. At 2 h p. i., the ratios of tumor-to-muscle, tumor-to-bone and tumor-to-blood are  $4.41 \pm 0.32$ ,  $2.45 \pm 0.24$  and  $1.51 \pm 0.18$ , respectively. These indicate that  $^{99}\text{Tc}^{\text{m}}\text{-NHT}$  is probably a potential SPECT tumor imaging agent and further study is needed.

**Key words:**  $^{99}\text{Tc}^{\text{m}}$ -labeled; thymidine analog; biodistribution

目前,临床常用的肿瘤显像剂是氟( $^{18}\text{F}$ )标记的 2-脱氧-2-氟葡萄糖( $^{18}\text{F}$ -FDG),是葡萄糖的类似物。然而, $^{18}\text{F}$ -FDG 不是肿瘤的特异显像剂,因为还有很多其它细胞摄取葡萄糖比正常细胞高,如在炎症灶处发现的巨噬细胞<sup>[1]</sup>。另外,由于脑中的葡萄糖代谢很旺盛,所以 $^{18}\text{F}$ -FDG 不适合脑部肿瘤的显像。因此,研究者们不断研发其它可供选择的肿瘤显像剂,如显示肿瘤增殖的放射性标记的胸苷衍生物:3'-脱氧-3'-氟胸苷<sup>[2]</sup>( $^{18}\text{F}$ -FLT,结构式如图 1 所示)。但是, $^{18}\text{F}$  需要加速器生产,而且 $^{18}\text{F}$  标记的分子探针需要在特殊防护的热室中制备,这使得 $^{18}\text{F}$  标记的分子探针价格比较昂贵,广大病人还难以承受。而锝( $^{99}\text{Tc}^{\text{m}}$ )是 SPECT 显像中使用最普遍的放射性核素,由钼-锝发生器产生,价格低廉,而且有显像需要的理想核素特性(半衰期 6 h,能量 140 keV)<sup>[3]</sup>。因此,很多研究小组<sup>[4-7]</sup>对胸苷结构进行各种修饰,希望找到适合肿瘤显像的锝标记胸苷衍生物。

本工作拟对胸苷嘧啶环的 5 位和 N-3 位进行修饰,得到 2 个新的锝标记胸苷衍生物的前体{2-巯基乙基-[2-(2-巯基乙基氨基)乙酰基]氨基}-甲基-2'-脱氧尿苷(简称 ANMdU)和 N<sup>3</sup>-{N'-[2-(2-巯基乙基氨基)乙酰基]-2-氨基乙基巯基-1-己酰胺基}-胸苷(简称 NHT)进行标记,得到 $^{99}\text{Tc}^{\text{m}}$ -ANMdU 和 $^{99}\text{Tc}^{\text{m}}$ -NHT(结构式如图 1 所示)。通过考察 $^{99}\text{Tc}^{\text{m}}$ -ANMdU 和 $^{99}\text{Tc}^{\text{m}}$ -NHT 在荷瘤鼠体内的生物分布,评价它们作为肿瘤显像剂的

可能性。

## 1 实验部分

### 1.1 试剂和仪器

$\beta$ -胸苷,纯度大于 99%,新乡拓新生化科技有限公司;对甲基苯甲酰氯和 6-溴己酰氯,百灵威(J&K)化学试剂有限公司;其他化学试剂均为国产分析纯。鼠源性肝癌 HepA 腹水、ICR 小鼠,均由江苏省原子医学研究所提供。

MALDI SYNAPT Q-TOF MS 质谱仪,美国 Waters 公司;AVANCE III 400 MHz 核磁仪,瑞士 Bruker 公司;C5002  $\gamma$ -计数器,美国 PACKARD-COBRA 公司;Yanadimoto 熔点仪,日本株式会社,温度未校正。

### 1.2 实验方法

**1.2.1 ANMdU 的合成** ANMdU 的合成及其鉴定等参见文献[7]的报道。

**1.2.2 NHT 的合成** 合成路线图示于图 2。

(1) 3',5'-二(对甲基苯甲酰基)-胸苷(化合物 1)的合成

取 8 g  $\beta$ -胸苷和 1 g 4-二甲氨基吡啶(DMAP)加入到 500 mL 三颈烧瓶中,加入 250 mL 二氯甲烷,在搅拌条件下,滴加 10 mL 对甲基苯甲酰氯,滴毕,加热至回流,直至反应溶液变澄清,将反应液冷却至室温,用水洗涤,有机相干燥浓缩后,用二氯甲烷/乙酸乙酯(体积比为 1:1)重结晶,得 13.8 g 白色晶体。产物产率为 87.34%;熔点为 202~204 °C。

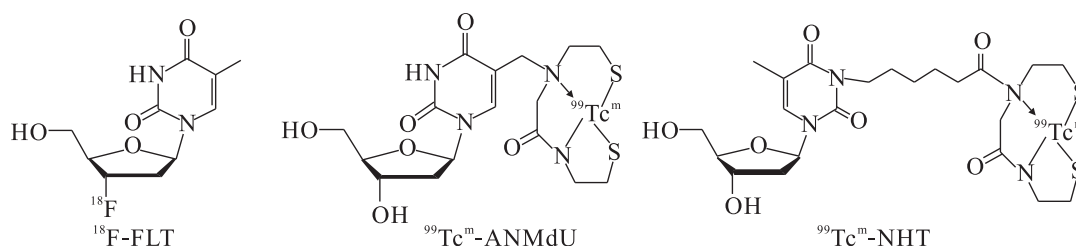


图 1  $^{18}\text{F}$ -FLT、 $^{99}\text{Tc}^{\text{m}}$ -ANMdU 和 $^{99}\text{Tc}^{\text{m}}$ -NHT 的结构式

Fig. 1 Structure of  $^{18}\text{F}$ -FLT,  $^{99}\text{Tc}^{\text{m}}$ -ANMdU and  $^{99}\text{Tc}^{\text{m}}$ -NHT

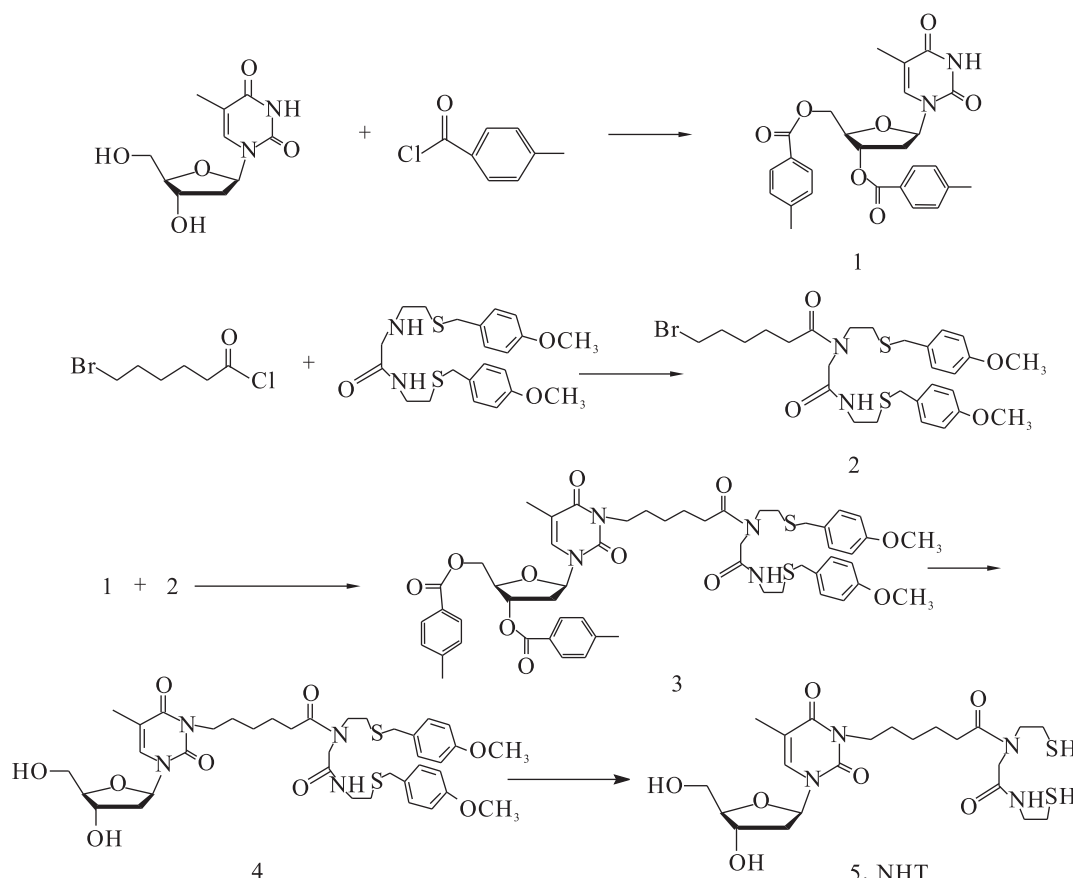


图2 NHT的合成路线

Fig. 2 Scheme for synthesis of NHT

(2) N-[2-(2-(S-(4-甲氧基苯基)巯基)乙基氨基)乙酰基]-S-(4-甲氧基苯基)-2-氨基乙基巯基}-6-溴-1-己酰胺(化合物2)的合成

在通氮气条件下,取2 g N-[2-(2-(S-(4-甲氧基苯基)巯基)乙基氨基)乙酰基]-S-(4-甲氧基苯基)-2-氨基乙基巯醇和0.6 g DMAP溶于50 mL CH<sub>2</sub>Cl<sub>2</sub>中,于0℃滴加1 g 6-溴己酰氯,滴毕,反应液温度逐渐升至室温,继续搅拌反应4 h,分别加水和饱和NaHCO<sub>3</sub>溶液洗涤,有机层用无水Na<sub>2</sub>SO<sub>4</sub>干燥,浓缩过硅胶柱,洗脱剂为CH<sub>2</sub>Cl<sub>2</sub>,得2 g白色固体。熔点为79~81℃。

(3) N-{N'-[2-(2-(S-(4-甲氧基苯基)巯基)乙基氨基)乙酰基]-S-(4-甲氧基苯基)-2-氨基乙基巯基-1-己酰胺基}-3',5'-二(对甲基苯甲酰酯基)-胸苷(化合物3)的合成

在通氮气条件下,取0.2 g化合物1,0.17 g化合物2和2 g K<sub>2</sub>CO<sub>3</sub>加入到100 mL烧瓶中,加入50 mL DMF/丙酮(体积比为1:1)的混合液,于50℃搅拌反应20 h,将反应液冷至室温,过滤,将滤液蒸干后用100 mL乙酸乙酯溶解,加水洗

涤,有机层用无水Na<sub>2</sub>SO<sub>4</sub>干燥,浓缩过硅胶柱,洗脱剂为乙酸乙酯/石油醚(体积比为1:1),得白色固体0.27 g,产率为96.4%。

(4) N-{N'-[2-(2-(S-(4-甲氧基苯基)巯基)乙基氨基)乙酰基]-S-(4-甲氧基苯基)-2-氨基乙基巯基-1-己酰胺基}-胸苷(化合物4)的合成

取0.26 g化合物3,加入30 mL 0.27 mol/L的甲醇钠甲醇溶液,室温搅拌反应1 h,蒸干甲醇,加50 mL水和50 mL氯仿振荡,分出有机层,用无水Na<sub>2</sub>SO<sub>4</sub>干燥,浓缩过硅胶柱,洗脱剂为氯仿/甲醇(体积比为1:1),得白色泡沫状固体0.16 g,产率为86.0%。

(5) N-{N'-[(2-巯基乙基氨基)乙酰基]-2-氨基乙基巯基-1-己酰胺基}-胸苷(化合物5,NHT)的合成

在冰水浴条件下,将0.15 g化合物4溶于5 mL三氟乙酸中,加入0.17 g醋酸汞和0.26 mL苯甲醚,反应液呈棕色,将反应液逐渐升至室温,在室温继续搅拌30 min,抽干溶剂,得深紫色油状物,真空干燥30 min,加入15 mL干燥乙醚,搅拌10 min,倾去乙醚,真空干燥30 min,用15 mL乙

醇溶解干燥物,通硫化氢气体20 min后,4 000 r/min离心5 min取出上清液浓缩,得淡黄色油状物0.09 g,即标记前体NHT,产率为68.7%。

**1.2.3  $^{99}\text{Tc}^m\text{-ANMdU}$  和  $^{99}\text{Tc}^m\text{-NHT}$  的制备** 取30  $\mu\text{g}$  标记前体(ANMdU或者NHT),溶于30  $\mu\text{L}$  乙醇中,加入80  $\mu\text{L}$  10 g/L葡萄糖酸钠溶液、80  $\mu\text{L}$  10 g/L乙二胺四乙酸溶液、15  $\mu\text{L}$  5 g/L氯化亚锡溶液,再加入1 mL(74 MBq)高锝酸钠淋洗液( $\text{Na}^{99}\text{Tc}^m\text{O}_4$ ),密闭,摇匀后于100 °C加热30 min,冷却后点样,以聚酰胺薄膜为载体,甲苯/乙腈/甲醇(体积比为3:1:1)为展开剂。

**1.2.4  $^{99}\text{Tc}^m\text{-NHT}$  的稳定性研究** 将制备得到的 $^{99}\text{Tc}^m\text{-NHT}$ 通过0.22  $\mu\text{m}$ 的无菌滤膜制成 $^{99}\text{Tc}^m\text{-NHT}$ 注射液,分别于0、1、2、3、4、5、6 h测定放射化学纯度。

**1.2.5 肝癌 HepA 荷瘤鼠的制备** 抽取保种小鼠体内的肝癌HepA腹水,用生理盐水稀释4倍。取0.2 mL腹水溶液(约 $2 \times 10^6$ 个肿瘤细胞)经皮下注射,接种于小鼠的右前肢腋下,正常饲养一周左右,肿瘤直径大约0.8 cm,备下一步实验。

**1.2.6  $^{99}\text{Tc}^m\text{-NHT}$  正常小鼠体内分布** 取ICR小鼠25只,分为5组,每组5只,经尾静脉注射0.2 mL( $3.7 \times 10^6$  Bq) $^{99}\text{Tc}^m\text{-NHT}$ ,分别于注射后5、30、60、120、180 min断头处死。解剖取出脑、肿瘤、心、肝、脾和肺等脏器,称重后测量放射性计数,计算每克组织百分注射剂量率。

**1.2.7  $^{99}\text{Tc}^m\text{-ANMdU}$  和  $^{99}\text{Tc}^m\text{-NHT}$  在肝癌 HepA 荷瘤鼠体内分布** 取荷瘤鼠25只,分为5组,每组5只,经尾静脉注射0.2 mL( $3.7 \times 10^6$  Bq) $^{99}\text{Tc}^m\text{-ANMdU}$ (或 $^{99}\text{Tc}^m\text{-NHT}$ ),分别于注射后5、30、60、120、180 min断头处死。解剖取出脑、肿瘤、心、肝、脾和肺等脏器,称重后测量放射性计数,计算每克组织百分注射剂量率。

## 2 结果和讨论

### 2.1 NHT的合成

以 $\beta$ -胸苷为起始原料,经多步反应合成得到标记前体NHT,反应的总收率为34.68%。

化合物1的MS( $m/z$ ):479(M+H),501(M+Na)。 $^1\text{H}$  NMR(CDCl<sub>3</sub>, $\delta$ ):8.22(s,1H),7.93(t,4H),7.29(t,4H),7.26(s,1H),6.43~6.48(q,1H),5.64(d,1H),4.64~4.81(dd,2H),4.52(q,1H),2.70(m,1H),2.43(d,6H),2.28~2.33(m,1H),1.62(s,3H)。

化合物2的MS( $m/z$ ):611,613(M+H),633,635(M+Na)。 $^1\text{H}$  NMR(CDCl<sub>3</sub>, $\delta$ ):8.25(s,1H),7.25(m,4H),6.85(m,4H),4.01(s,1H),3.89(s,1H),3.76(s,6H),3.70(s,2H),3.68(m,2H),3.40~3.48(m,4H),3.30(s,2H),2.50~2.61(m,4H),2.28~2.38(m,2H),1.82(m,2H),1.60(m,2H),1.45(m,2H)。

化合物3的MS( $m/z$ ):1 009(M+H)。 $^1\text{H}$  NMR(CDCl<sub>3</sub>, $\delta$ ):8.23(s,1H),7.93(q,4H),7.22~7.23(m,8H),7.20(s,1H),6.83(m,4H),6.49(m,1H),5.62(d,1H),4.64~4.78(dd,2H),4.51(d,1H),3.89(s,2H),3.86(s,2H),3.78(s,6H),3.66(d,4H),3.32~3.42(m,4H),2.69(dd,2H),2.49~2.60(m,4H),2.42(d,6H),2.22~2.32(m,2H),1.64(s,3H),1.56(m,4H),1.33~1.37(m,2H)。

化合物4的MS( $m/z$ ):773(M+1),795(M+Na)。 $^1\text{H}$  NMR(CDCl<sub>3</sub>, $\delta$ ):8.32(s,1H),7.33(s,1H),7.22(m,4H),6.83(m,4H),6.65(t,1H),6.16(m,1H),4.58(m,1H),3.98(dd,2H),3.93(m,2H),3.89(m,2H),3.78(s,6H),3.65~3.68(m,4H),3.32~3.42(m,4H),2.49~2.62(m,4H),2.42(m,2H),2.25~2.32(m,2H),2.22(m,1H),2.05(s,1H),1.91(s,3H),1.65(m,4H),1.35(m,2H)。

化合物5的MS( $m/z$ ):533(M+1),555(M+Na)。 $^1\text{H}$  NMR(CD<sub>3</sub>OD, $\delta$ ):8.25(s,1H),7.82(m,1H),6.31(t,1H),4.37~4.42(m,1H),4.16(s,1H),3.97(dd,2H),3.92(m,2H),3.73~3.80(m,2H),3.61(m,2H),3.5(m,1H),3.33~3.43(m,4H),3.22(m,1H),2.59~2.73(m,4H),2.42~2.53(m,2H),2.16~2.33(m,2H),1.91(s,3H),1.58~1.74(m,4H),1.35~1.42(m,2H)。

### 2.2 $^{99}\text{Tc}^m\text{-ANMdU}$ 和 $^{99}\text{Tc}^m\text{-NHT}$ 的制备

$^{99}\text{Tc}^m\text{-ANMdU}$  和  $^{99}\text{Tc}^m\text{-NHT}$  的标记率均大于95%,锝胶体的 $R_f$ 值为0~0.1, $^{99}\text{Tc}^m\text{-ANMdU}$ 的 $R_f$ 值为0.6~0.7, $^{99}\text{Tc}^m\text{-NHT}$ 的 $R_f$ 值为0.5~0.6。

### 2.3 $^{99}\text{Tc}^m\text{-NHT}$ 的稳定性

结果表明, $^{99}\text{Tc}^m\text{-NHT}$  6 h内稳定,放射化学纯度仍然大于93%。

### 2.4 $^{99}\text{Tc}^m\text{-ANMdU}$ 肝癌 HepA 荷瘤鼠体内分布

如表1所示, $^{99}\text{Tc}^m\text{-ANMdU}$ 在肾脏中的放射性摄取最高,膀胱次之,说明其主要是经肾脏代谢,

且<sup>99</sup>Tcm-ANMdU在体内的清除很快,肝、肾、膀胱和血的5 min时的放射性摄取与60 min时放射性摄取的比值分别为4.22、3.13、4.21和12.06,这与<sup>99</sup>Tcm-ANMdU在正常小鼠体内分布相一

致<sup>[7]</sup>。<sup>99</sup>Tcm-ANMdU注射60 min后,荷瘤鼠体内肿瘤的放射性摄取与肌肉、骨和血的放射性摄取的比值达到较高值,分别为1.58±0.17、1.95±0.31和1.17±0.08。

表1 <sup>99</sup>Tcm-ANMdU在荷瘤(HepA)小鼠体内分布Table 1 Biodistribution of <sup>99</sup>Tcm-ANMdU in tumor-bearing (HepA) mice

器官 (Organs)	每克组织百分注射剂量率(Percentage of the injected dose per gram of tissue mass)/(%ID·g <sup>-1</sup> )				
	5 min	30 min	60 min	120 min	180 min
脑(Brain)	0.37±0.02	0.12±0.02	0.05±0.01	0.02±0.00	0.01±0.00
心(Heart)	4.57±0.47	0.97±0.07	0.28±0.03	0.11±0.00	0.06±0.02
肝(Liver)	6.03±0.49	2.64±0.44	1.43±0.24	0.93±0.15	0.47±0.21
脾(Spleen)	2.81±0.18	0.61±0.08	0.24±0.05	0.07±0.01	0.03±0.00
肺(Lung)	5.08±0.30	1.36±0.08	0.55±0.34	0.29±0.02	0.21±0.03
肾(Kidney)	18.08±0.64	6.91±0.45	5.77±1.78	1.97±0.08	0.88±0.03
胃(Stomach)	2.55±0.28	0.50±0.13	0.22±0.94	0.14±0.06	0.07±0.03
小肠(Small intestines)	3.82±0.72	2.68±0.28	1.57±0.05	1.21±0.07	0.33±0.13
膀胱(Bladder)	8.00±0.83	3.64±0.60	1.90±0.13	0.88±0.13	0.19±0.02
肿瘤(Tumor)	3.03±0.31	1.03±0.09	0.41±0.02	0.17±0.03	0.06±0.01
肌肉(Muscle)	2.65±0.31	0.67±0.19	0.26±0.18	0.12±0.02	0.06±0.01
骨(Bone)	1.75±0.28	0.46±0.14	0.21±0.09	0.11±0.05	0.08±0.03
血(Blood)	4.22±0.73	1.06±0.16	0.35±0.26	0.17±0.01	0.10±0.02
肿瘤/肌肉(Tumor-to-muscle)*	1.14±0.24	1.53±0.36	1.58±0.17	1.42±0.01	0.99±0.22
肿瘤/骨(Tumor-to-bone)*	1.73±0.12	2.23±0.54	1.95±0.31	1.55±0.42	0.74±0.04
肿瘤/血(Tumor-to-blood)*	0.72±0.05	0.97±0.09	1.17±0.08	1.01±0.12	0.61±0.06

注(Note):n=5;\*,量纲为1(Unit is 1)

## 2.5 <sup>99</sup>Tcm-NHT在正常小鼠和肝癌 HepA 荷瘤鼠体内分布

<sup>99</sup>Tcm-NHT在正常小鼠和肝癌HepA荷瘤鼠体内分布结果列入表2、表3。由表2、3可知:<sup>99</sup>Tcm-NHT在正常小鼠和荷瘤鼠体内肝脏和肾脏中的放射性摄取最高,说明其主要经肝脏和肾脏代谢;<sup>99</sup>Tcm-NHT在体内的清除相对较慢,在荷瘤鼠体内,肝、肾、膀胱和血的5 min时的放射性摄取与60 min时放射性摄取的比值分别为1.55、1.28、1.83和2.02,低于<sup>99</sup>Tcm-ANMdU在体内的清除速度(4.22、3.13、4.21和12.06),但与<sup>18</sup>F-FLT在小鼠体内的清除速度接近<sup>[8]</sup>。值得注意的是,<sup>99</sup>Tcm-NHT在脾脏中的放射性摄取较高,且在60 min时达到最大,这是因为脾脏中细胞增殖比较旺盛,与<sup>18</sup>F-FLT在脾脏中的放射性摄取增加相一致<sup>[8]</sup>。<sup>99</sup>Tcm-NHT注射120 min后,荷瘤鼠体内肿瘤的放射性摄取

与肌肉、骨和血的放射性摄取的比值达到较高值,分别为4.41±0.32、2.45±0.24和1.51±0.18,高于<sup>18</sup>F-FLT注射60 min后肿瘤与肌肉、骨和血的放射性摄取比值<sup>[9]</sup>1.53、0.47、1.48。

## 2.6 讨论

人们在不断探索<sup>99</sup>Tcm标记胸苷衍生物作为肿瘤显像剂的潜力,较早的是2004年Zhang等<sup>[6]</sup>对2'-脱氧-2'-氟代尿苷的5位进行修饰,通过戊烯基与N2S2配基连接,与<sup>99</sup>Tcm的标记率为42%,放射化学纯度为98%。2007年有多篇文献报道有关<sup>99</sup>Tcm标记胸苷衍生物的研究,如Teng等<sup>[4]</sup>对胸苷的3'位进行修饰,通过肼基烟酰胺(HYNIC)和其他配基一起进行<sup>99</sup>Tcm标记,放射化学纯度大于97%。这两篇文献都只报道合成和标记方面,而没有生物学的评价和显像。Celen等<sup>[3]</sup>对胸苷的N-3位进行修饰,通过丙基连接N2S2配基,认为由于<sup>99</sup>Tcm标记的基团太大,导致<sup>99</sup>Tcm标记

胸苷衍生物对胸苷激酶(TK)的亲和性降低,显像结果不佳;然而,Desbouis等<sup>[5]</sup>研究发现,5'位进行修饰通过长链连接<sup>99</sup>Tc<sup>m</sup>的胸苷衍生物与TK有很

好的亲和性。这说明可能胸苷母体结构与<sup>99</sup>Tc<sup>m</sup>标记基团之间的距离比<sup>99</sup>Tc<sup>m</sup>标记基团尺寸大小,对胸苷衍生物和TK亲和性的影响更大。

表2 <sup>99</sup>Tc<sup>m</sup>-NHT在正常小鼠体内分布  
Table 2 Biodistribution of <sup>99</sup>Tc<sup>m</sup>-NHT in normal mice

器官 (Organs)	每克组织百分注射剂量率(Percentage of the injected dose per gram of tissue mass)/(%ID · g <sup>-1</sup> )				
	5 min	30 min	60 min	120 min	180 min
脑(Brain)	0.34±0.06	0.12±0.02	0.10±0.01	0.08±0.02	0.06±0.02
心(Heart)	3.27±1.09	1.42±0.22	1.30±0.29	1.22±0.28	0.52±0.12
肝(Liver)	30.44±1.29	24.60±1.42	21.72±1.28	17.06±2.05	13.97±1.48
脾(Spleen)	4.78±0.84	5.74±0.82	6.25±0.10	4.36±0.70	4.16±0.96
肺(Lung)	7.52±1.01	4.60±0.66	4.57±0.65	2.59±0.60	2.14±0.52
肾(Kidney)	25.43±1.44	20.60±1.51	18.87±0.87	18.33±1.74	10.45±2.46
胃(Stomach)	1.61±0.40	1.20±0.19	1.19±0.21	1.07±0.31	0.56±0.05
小肠(Small intestines)	2.34±0.47	2.17±0.71	1.53±0.50	1.02±0.20	0.44±0.16
膀胱(Bladder)	3.75±1.11	1.57±1.10	1.56±0.13	1.41±0.20	0.62±0.26
肌肉(Muscle)	1.11±0.16	0.66±0.11	0.42±0.07	0.28±0.06	0.15±0.04
骨(Bone)	1.40±0.25	0.82±0.19	0.62±0.14	0.52±0.11	0.37±0.08
血(Blood)	7.45±0.89	3.10±0.84	2.99±0.61	2.64±0.64	1.10±0.26

注(Note):n=5

表3 <sup>99</sup>Tc<sup>m</sup>-NHT在荷瘤(HepA)小鼠体内分布  
Table 3 Biodistribution of <sup>99</sup>Tc<sup>m</sup>-NHT in tumor-bearing (HepA) mice

器官 (Organs)	每克组织百分注射剂量率(Percentage of the injected dose per gram of tissue mass)/(%ID · g <sup>-1</sup> )				
	5 min	30 min	60 min	120 min	180 min
脑(Brain)	0.29±0.02	0.19±0.05	0.10±0.03	0.09±0.01	0.07±0.01
心(Heart)	2.09±0.42	1.64±0.46	0.90±0.26	0.69±0.13	0.65±0.08
肝(Liver)	28.10±0.45	22.23±0.66	18.11±1.75	15.22±1.70	11.25±0.46
脾(Spleen)	5.26±0.63	3.51±0.71	6.33±0.85	4.32±0.98	3.99±0.90
肺(Lung)	7.02±0.76	6.89±0.53	5.24±0.23	4.61±0.95	3.89±0.70
肾(Kidney)	20.17±2.80	18.39±1.72	15.80±0.76	15.69±1.39	13.46±1.95
肿瘤(Tumor)	1.69±0.52	1.55±0.37	1.57±0.22	1.59±0.51	1.49±0.22
胃(Stomach)	1.57±0.16	1.35±0.49	1.20±0.13	0.93±0.27	0.73±0.33
小肠(Small intestines)	2.41±0.11	2.22±0.29	1.78±0.17	1.15±0.05	0.92±0.37
膀胱(Bladder)	2.82±0.46	2.74±0.53	1.54±0.21	1.36±0.24	0.82±0.33
肌肉(Muscle)	0.78±0.13	0.55±0.17	0.40±0.07	0.36±0.13	0.28±0.05
骨(Bone)	0.97±0.05	0.85±0.29	0.72±0.10	0.65±0.07	0.52±0.09
血(Blood)	3.62±0.87	2.45±0.61	1.79±0.50	1.05±0.18	1.00±0.08
肿瘤/肌肉(Tumor-to-muscle)*	2.18±0.34	2.80±0.33	3.91±0.37	4.41±0.32	5.37±0.65
肿瘤/骨(Tumor-to-bone)*	1.75±0.50	1.82±0.15	2.17±0.23	2.45±0.24	2.41±0.29
肿瘤/血(Tumor-to-blood)*	0.47±0.04	0.63±0.03	0.87±0.13	1.51±0.18	1.29±0.17

注(Note):n=5;\*,量纲为1(Unit is 1)

本工作的 ANMdU 是胸昔母体结构在 5 位通过 1 个亚甲基与 N2S2 配基相连, 胸昔母体结构与<sup>99</sup>Tcm 标记基团之间的距离很近; NHT 是胸昔母体结构在 N-3 位通过 1 个六碳链与 N2S2 配基相连, 胸昔母体结构与<sup>99</sup>Tcm 标记基团之间的距离比 ANMdU 的大, 而且<sup>99</sup>Tcm-NHT 在肿瘤的放射性摄取与肌肉、骨和血的放射性的比值高于<sup>99</sup>Tcm-ANMdU 相应的比值。这说明随着胸昔母体结构与<sup>99</sup>Tcm 标记基团之间距离的增大, 可能可以增加胸昔衍生物对 TK 的亲和性。

### 3 结 论

<sup>99</sup>Tcm-ANMdU 在荷瘤鼠体内主要经肾脏代谢, 且在体内清除迅速, 但在肿瘤和血的放射性比值不高; <sup>99</sup>Tcm-NHT 在小鼠体内清除比<sup>99</sup>Tcm-ANMdU 缓慢, 但 120 min 时肿瘤中的放射性摄取较高, 肿瘤和肌肉、骨及血的放射性比值分别为 4.41 ± 0.32、2.45 ± 0.24 和 1.51 ± 0.18, <sup>99</sup>Tcm-NHT 可能是潜在的 SPECT 肿瘤显像剂, 值得进一步研究。

### 参考文献:

- [1] Blasberg R G. Molecular Imaging and Cancer[J]. Molecular Cancer Therapeutics, 2003, 2: 335-343.
- [2] Been L B, Suurmeijer A J, Cobben D C, et al. [<sup>18</sup>F]FLT-PET in Oncology: Current Status and Opportunities[J]. Eur J Nucl Med Mol Imaging, 2004, 31(12): 1 659-1 672.
- [3] Celen S, de Groot T, Balzarini J, et al. Synthesis and Evaluation of a <sup>99</sup>Tcm-MAMA-Propyl-Thymidine Complex as a Potential Probe for *in Vivo* Visualization of Tumor Cell Proliferation With SPECT[J]. Nucl Med Biol, 2007, 34(3): 283-291.
- [4] Teng B, Bai Y, Chang Y, et al. Technetium-99m-Labeling and Synthesis of Thymidine Analogs: Potential Candidates for Tumor Imaging [J]. Bioorg Med Chem Lett, 2007, 17(12): 3 440-3 444.
- [5] Desbouis D, Schubiger P A, Schibli R. Synthesis of Tricarbonyl Rhenium and Technetium Complexes of a 5'-Carboxamide 5-Ethyl-2'-Deoxyuridine for Selective Inhibition of Herpes Simplex Virus Thymidine Kinase 1[J]. J Organomet Chem, 2007, 692 (6): 1 340-1 347.
- [6] Zhang Y, Dai X, Kallmes D F, et al. Synthesis of a Technetium-99m-Labeled Thymidine Analog: A Potential HSV1-TK Substrate for Non-Invasive Reporter Gene Expression Imaging[J]. Tetrahedron Lett, 2004, 45(47): 8 673-8 676.
- [7] Lu C, Jiang Q, Yu H, et al. Preparation and Preliminary Biological Evaluation of <sup>99</sup>Tcm-ANMdU [J]. Nucl Sci Tech, 2010, 21(2): 106-109.
- [8] 陆春雄, 王正武, 蒋泉福, 等.<sup>18</sup>F-FLT 的制备及其 microPET 显像[J]. 同位素, 2008, 21(3): 145-149.
- [9] Lee T S, Ahn S H, Moon B S, et al. Comparison of <sup>18</sup>F-FDG, <sup>18</sup>F-FET and <sup>18</sup>F-FLT for Differentiation Between Tumor and Inflammation in Rats[J]. Nucl Med Biol, 2009, 36(6): 681-686.